

# Мартенситные превращения в тонком слое сплава с эффектом памяти формы на упругой подложке

© Г.А. Малыгин

Физико-технический институт им. А.Ф. Иоффе Российской академии наук,  
194021 Санкт-Петербург, Россия  
E-mail: malygin.ga@pop.ioffe.rssi.ru

(Поступила в Редакцию 22 ноября 2000 г.)

С помощью теории размытых мартенситных переходов теоретически анализируется мартенситное превращение в тонком ( $10-10^3$  nm) слое сплава с эффектом памяти формы на упругой подложке. Рассмотрены связанный с мартенситным превращением механизм релаксации термоупругих напряжений в слое из-за разницы коэффициентов теплового расширения материалов, составляющих микрокомпозит, и сопровождающие эту релаксацию размерные эффекты. Найдено, что мартенситное превращение придает созданным на основе таких композитов микродатчикам температуры и микроприводным устройствам (актуаторам) нелинейные и гистерезисные свойства.

В последние десятилетия широкое применение нашли микросенсорные и микроприводные устройства (актуаторы) [1,2]. Для их создания используются, в частности двухслойные и многослойные микрокомпозиты, состоящие из тонких (толщиной  $10-10^3$  nm) слоев активного материала, чувствительного к тому или иному воздействию на него, и пассивных слоев субстрата. В качестве активных элементов таких устройств в последнее время стали все чаще применяться сплавы с эффектом памяти формы (ЭПФ), претерпевающие в некотором интервале температур бездиффузионное структурное превращение мартенситного типа [2-5]. Связанные с превращением обратимые (псевдоупругие) пластические деформации чувствительны к действию на сплав механических напряжений [2-4], гидростатического давления [5], магнитных и электрических полей [6], что способствует созданию гибких и "умных" (smart) функциональных микроустройств, основанных на использовании рассматриваемых материалов.

Очевидно, что расчет параметров подобных устройств должен основываться на теории бездиффузионных мартенситных переходов с учетом влияния на них упомянутых выше внешних воздействий и внутренних факторов, в частности структурных, связанных с наличием в кристалле различных дефектов. В настоящее время такая полномасштабная теория мартенситных превращений отсутствует. Поэтому расчет превращения, например, в тонком слое сплава с ЭПФ на подложке производится с использованием кусочно-линейных аппроксимаций для найденных на опыте температурных зависимостей количества мартенсита или аустенита в материале [7].

Недавно в [8-10] была развита теория размытых мартенситных превращений в сплавах с памятью формы как часть общей теории размытых фазовых переходов первого рода [10]. Теория основывается на термодинамических аргументах, но рассматривает гетерофазное (мартенситно-аустенитное) состояние материала как результат его кинетического перехода из одного состояния в другое.

Согласно теории, кинетически равновесные пространственно-неоднородные (гетерофазные) состояния сплава являются результатом равновесия между термодинамической силой, действующей на межфазные границы, и силой взаимодействия межфазных границ с различными препятствиями в материале. Внешнее воздействие на материал увеличивает или уменьшает термодинамическую составляющую силы и изменяет тем самым соотношение между количеством аустенита и мартенсита в материале.

Таким образом, теория размытых мартенситных переходов учитывает влияние как внешних, так и внутренних факторов на параметры мартенситного превращения и дает аналитическое описание этого влияния, в частности температурной зависимости объемной доли мартенсита или аустенита в материале, претерпеваемом бездиффузионный мартенситный переход.

В настоящей работе эта теория (раздел 1) используется для количественного расчета термоупругих напряжений из-за разницы коэффициентов теплового расширения материалов слоев в двухслойном микрокомпозите (в тонком слое сплава с ЭПФ на упругой подложке) с учетом релаксации этих напряжений в интервале температур превращения (раздел 2). В третьем разделе обсуждаются связанные с превращением размерные эффекты.

## 1. Размытые мартенситные переходы

В этом разделе приведены основные соотношения теории размытых переходов, необходимые для расчета мартенситной релаксации термоупругих напряжений в тонком слое сплава с эффектом памяти формы.

Согласно теории, относительная объемная доля мартенсита  $\varphi_M$  в кристалле сплава, испытывающем бездиффузионный мартенситный переход, равна [9,10]

$$\varphi_M(T, \{I\}, \{s\}) = \left[ 1 + \exp\left(\frac{\Delta U}{kT}\right) \right]^{-1}. \quad (1a)$$

Здесь  $T$  — температура,  $k$  — постоянная Больцмана,  $\Delta U = \omega \Delta u$  — изменение внутренней энергии кристалла

при переходе его элементарного объема  $\omega$  из аустенитного в мартенситное состояние,

$$\Delta u = q \frac{T - T_{c0}}{T_{c0}} - \xi_{ik} \tau_{ik} - \delta_0 P - p_i E_i - m_i H_i - [u_d] n_d \quad (1b)$$

— изменение внутренней энергии единицы объема материала при таком переходе,  $q$  — теплота перехода,  $T_{c0}$  — критическая (характеристическая) температура перехода в отсутствие внешнего воздействия на материал,  $\{I\} \equiv \tau_{ik}, P, E_i, H_i$  — совокупность этих воздействий в виде механического напряжения  $\tau_{ik}$ , всестороннего давления  $P$ , электрического  $E_i$  и магнитного  $H_i$  полей,  $\xi_{ik}$  и  $\delta_0$  — спонтанные сдвиговые деформации и дилатация решетки при ее структурной перестройке,  $p_i$  и  $m_i$  — индуцированные перестройкой решетки электрический и магнитный моменты,  $\{s\}$  — совокупность структурных факторов, влияющих на переход,  $[u_d]$  — изменение энергии дефектов решетки при переходе,  $n_d$  — концентрация дефектов.

Как видно из (1), количество мартенсита в кристалле зависит от величины и знака энергии  $\Delta u$ . При  $\Delta u > 0$  в кристалле преобладает аустенит, при  $\Delta u < 0$  — мартенсит. Условие  $\Delta u = 0$ , при котором количество аустенита в кристалле равно количеству в нем мартенсита, определяет характеристическую температуру перехода

$$T_c = T_{c0} + \frac{T_{c0}}{q} (\xi_{ik} \tau_{ik} + \delta_0 P + p_i E_i + m_i H_i + [u_d] n_d) \quad (2)$$

в виде обобщенного соотношения Клаузиуса–Клапейрона. Согласно этому соотношению, в зависимости от величины и знака индуцированных перестройкой решетки спонтанных деформаций, электрических и магнитных моментов приложение к кристаллу внешних полей будет вызывать сдвиг критической температуры превращения в ту или иную сторону. Наличие дефектов в кристалле также влияет на критическую температуру перехода.

Величина деформации кристалла, вызванная происходящим в нем мартенситным превращением, равна

$$\varepsilon_{ik} = \sum_{a=1}^N \varepsilon_{ik}^a, \quad \varepsilon_{ik}^a = m_{il}^a \xi_{lk}^a \varphi_M^a(T, \sigma_{ik}), \quad \tau_{lk}^a = m_{il}^a \sigma_{ik}, \quad (3)$$

где  $\sigma_{ik}$  — приложенное к кристаллу напряжение,  $a$  — варианты мартенсита,  $N$  — полное число вариантов,  $m_{il}^a$  — кристаллографические ориентационные факторы вариантов. Из (1) и (3) следует, что количество того или иного варианта мартенсита экспоненциально изменяется с величиной его ориентационного фактора. Очевидно, что при наличии приложенного к кристаллу механического напряжения в кристалле будет преобладать вариант с максимальным значением ориентационного фактора ( $m_{ik} = m \approx 0.5$ ,  $\xi_{ik} = \xi$ ). В результате деформация кристалла при простом одноосном нагружении ( $\sigma_{ik} = \sigma$ ), согласно (1) и (3), будет равна

$$\varepsilon_M(T, \sigma) = \varepsilon_m \varphi_M(T, \sigma),$$

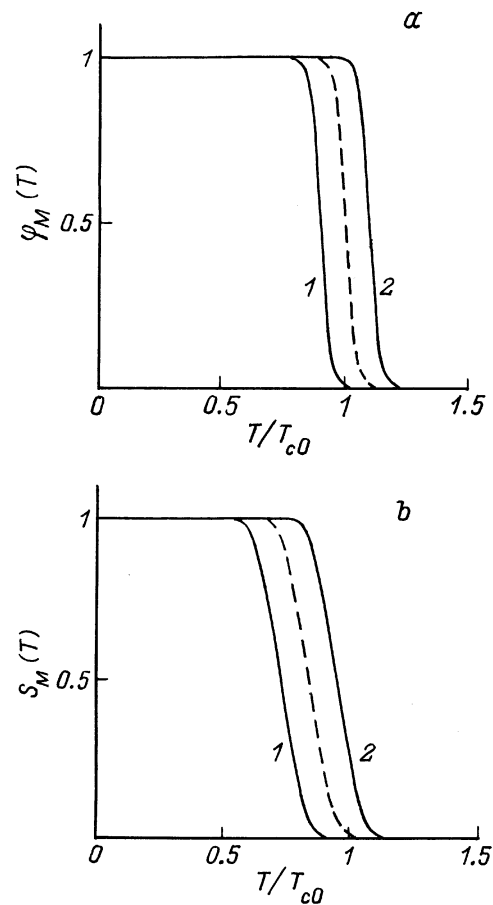
$$\varphi_M(T, \sigma) = \left[ 1 + \exp \left( B \left( \frac{T - T_{c0}}{T_{c0}} - \frac{m\sigma \pm \tau_f}{\tau_M} \right) \right) \right]^{-1} \quad (4)$$

Здесь  $\varepsilon_m = m\xi$ ,  $\tau_M = q/\xi$ ,  $\tau_f$  и  $B$  — напряжение сухого трения при взаимодействии межфазных границ с дефектами решетки и структурно-чувствительный параметр, определяющие соответственно силовой гистерезис превращения и размытие мартенситного перехода по температуре  $\Delta T_{M0}$ ,

$$B = \frac{\omega q}{k T_{c0}}, \quad \Delta T_{M0} = \left| \frac{d\varphi}{dT} \right|_{T=T_{c0}}^{-1} = \frac{4T_{c0}}{B} = \left( \frac{4T_{c0}}{\omega q} \right) T_{c0}. \quad (5)$$

Например, в кристалле с дислокациями плотностью  $\rho$ , препятствующими перемещению межфазных границ, элементарный объем превращения  $\omega = r/\rho$ , где  $r$  — высота ступенек атомных размеров на межфазных границах. В результате для ширины перехода получаем выражение  $\Delta T_{M0} = (4T_{c0}^2/q\rho)r$ , т.е. ширина (размытие) перехода увеличивается с ростом плотности дислокаций в кристалле.

На рис. 1, а показана температурная зависимость относительной объемной доли мартенсита в кристалле при прямом и обратном мартенситном превращениях согласно (4) в отсутствие напряжений ( $\sigma = 0$ ,  $B = 50$ ,



**Рис. 1.** Температурные зависимости относительных объемных долей мартенсита при прямом (1) и обратном (2) мартенситном переходах в свободных (а) и стесненных (б) условиях. Штриховые кривые — в отсутствие гистерезиса превращения.

$\tau_f/\tau_M = 0.1$ ). Штриховая кривая демонстрирует эту зависимость в отсутствие силового гистерезиса превращения ( $\tau_f = 0$ ), а кривые 1 и 2 — при его наличии,  $2\Delta T_f = 2(\tau_f/\tau_M)T_{c0}$ . Наклон штриховой кривой при  $T = T_{c0}$  определяет ширину (размытие) перехода по температуре. При аппроксимации кривых  $\varphi_M(T)$  линейными зависимостями температуры начала и конца мартенситного перехода обычно обозначаются через  $M_s$  и  $M_f$ , а начало и конец аустенитного перехода — через  $A_s$  и  $A_f$ . С учетом введенных выше параметров размытых переходов имеем, например  $M_s \approx T_{c0} + \Delta T_{M0} - \Delta T_f$ . Аналогичным образом могут быть записаны и остальные характерные температуры начала и конца переходов.

## 2. Мартенситная релаксация термоупругих напряжений в тонком слое

Рассмотрим микрокомпозит в виде пластинки длиной  $l$ , шириной  $w \ll l$ , толщиной  $h$ , состоящей из тонкого слоя сплава с ЭПФ и слоя подложки толщиной  $H \gg h$  из материала, не претерпевающего превращений в заданном интервале температур. При охлаждении пластинки от температуры диффузионного соединения слоев  $T_0$  в тонком слое возникнут продольные термоупругие напряжения  $\sigma_\alpha = Y_1 \Delta\alpha(T - T_0)$  из-за разницы коэффициентов теплового расширения  $\Delta\alpha$  материалов тонкого слоя и подложки ( $Y_1 = E_1/(1 - \nu_1)$ ,  $E_1$  и  $\nu_1$  — соответственно модуль упругости и коэффициент Пуассона материала тонкого слоя; предполагается, что оба материала изотропны). Возникновение напряжений приводит к изгибу пластинки до радиуса кривизны  $R$  и измеряемому на опыте отклонению  $z$  ее концов от горизонтальной плоскости [11]

$$R = \frac{H^2}{6h} \left( \frac{Y_2}{\sigma_\alpha} \right), \quad z = \frac{l^2}{8R} = \frac{3h}{4} \left( \frac{l}{H} \right)^2 \left( \frac{\sigma_\alpha}{Y_2} \right); \quad (6)$$

здесь  $Y_2 = E_2/(1 - \nu_2)$ ,  $E_2$  и  $\nu_2$  — соответствующие параметры материала подложки. Из (6) следует, что чем больше напряжение в тонком слое, тем меньше радиус кривизны пластинки и больше отклонение ее концов от горизонтальной плоскости.

Снижение температуры пластинки до температуры начала мартенситного превращения в слое сплава с ЭПФ вызовет появление в нем деформации превращения (4) и релаксации термоупругих напряжений на величину напряжения  $\sigma_M(T) = Y_1 \varepsilon_M(T, \sigma)$ , где  $\sigma = \sigma_\alpha - \sigma_M$  — полное напряжение в тонком слое сплава. Поскольку в выражение (4) для объемной доли мартенсита входит полное напряжение  $\sigma$ , то для нахождения напряжения  $\sigma_M$  необходимо решить трансцендентное уравнение

вида

$$\sigma_M(T) = Y_1 \varepsilon_m \left[ 1 + \exp \left( B \left( \frac{T - T_{c0}}{T_{c0}} - \frac{mY_1 \Delta\alpha(T - T_0) - m\sigma_M(T) \pm \tau_f}{\tau_M} \right) \right) \right]^{-1} \quad (7a)$$

для каждой температуры. В безразмерных переменных оно приобретает вид

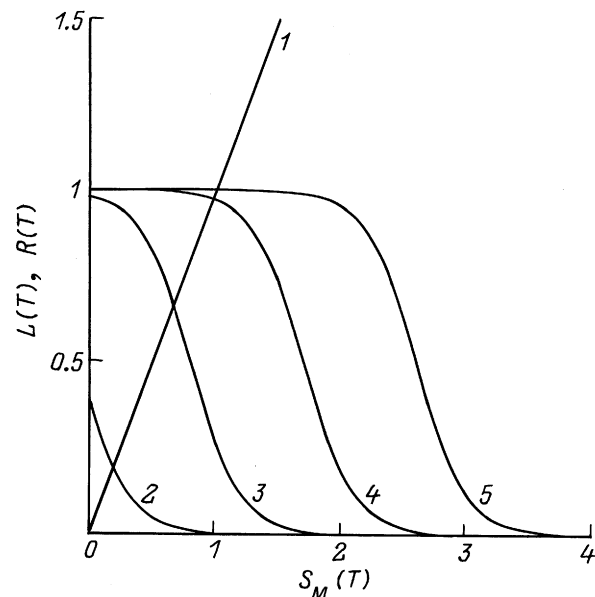
$$S_M(t) = \left[ 1 + \exp \left( B \left( t - 1 - a(t - t_0) + bS_M(t) \pm \frac{\tau_f}{\tau_M} \right) \right) \right]^{-1}, \quad (7b)$$

где

$$t_0 = \frac{T_0}{T_{c0}}, \quad a = m \left( \frac{Y_1}{\tau_M} \right) \Delta\alpha T_{c0}, \\ b = m \left( \frac{Y_1}{\tau_M} \right) \varepsilon_m, \quad \frac{a}{b} = \frac{\Delta\alpha}{\varepsilon_m} T_{c0}. \quad (7c)$$

На рис. 2 показаны зависимости левой  $L(T)$  (прямая 1) и правой  $R(T)$  (кривые 2–5) частей уравнения (7b) от безразмерного напряжения  $S_M = \sigma_M/Y_1 \varepsilon_m$  при различных безразмерных температурах  $t = T/T_{c0}$  и  $B = 50$ ,  $a = b = 0.1$ ,  $t_0 = 2$ ,  $\tau_f = 0$ . Пересечение прямой 1 с кривыми 2–5 определяет глубину релаксации термоупругого напряжения при данной температуре вследствие мартенситного превращения.

На рис. 1, b приведены результаты самосогласованного решения уравнения (7b) при прямом (кривая 1) и обратном (кривая 2) превращениях с учетом гистерезиса



**Рис. 2.** Зависимости левой (1) и правой (2–5) частей уравнения (7b) от напряжения  $S_M(t) = \sigma_M(t)/Y_1 \varepsilon_m$  при разных относительных температурах  $t = T/T_{c0}$ : 2 — 0.9, 3 — 0.8, 4 — 0.7, 5 — 0.6.

превращения ( $\tau_f/\tau_M = 0.1$ ). Кривые демонстрируют температурные зависимости  $S_M(t) \equiv \varphi_M(t)$ , т.е. температурные зависимости количества мартенсита в сплаве в процессе его мартенситного превращения в стесненных условиях. Видно, что по сравнению с мартенситным превращением в свободных условиях (рис. 1, а) в стесненных условиях 1) зависимости  $\varphi_M(T)$  сдвинуты в интервал более низких температур, 2) мартенситный переход занимает более широкий интервал температур, т.е. имеет более размытый характер.

Действительно, дифференцируя (7b) по  $t$ , получаем, что критическая (характеристическая) температура превращения  $T_c$  и температурный интервал превращения  $\Delta T_M$  в стесненных условиях соответственно равны

$$T_c = \frac{1 - 0.5b - at_0}{1 - a} T_{c0}, \quad \Delta T_M = \frac{\Delta T_{M0} + bT_{c0}}{1 - a}, \quad (8)$$

где  $T_{c0}$  и  $\Delta T_{M0}$  — соответствующие параметры превращения в свободных условиях. Из первого выражения (8) видно, что при исходной температуре  $t_0 > 1 - b/2a$  и  $a > 0$  ( $\Delta\alpha > 0$ ) критическая температура  $T_c < T_{c0}$ . Из второго соотношения (8) непосредственно видно, что  $\Delta T_M > \Delta T_{M0}$ . При  $a < 0$  ( $\Delta\alpha < 0$ ) критическая температура перехода будет выше в стесненных условиях, чем в свободных.

Полное напряжение в пленке сплава при данной температуре равно сумме термоупругих напряжений минус сrelаксировавшее в результате превращения напряжение. В безразмерных переменных полное напряжение равно

$$\frac{\sigma(t)}{Y_1 \varepsilon_m} = S(t), \quad S(t) = \frac{a}{b}(t_0 - t) - S_M(t). \quad (9)$$

На рис. 3 приведена его зависимость от температуры при прямом и обратном мартенситном превращении (кривые 1 и 2), а также температурная зависимость полного напряжения в слое в отсутствие гистерезиса превращения (штриховая кривая). Как видно, по сравнению с микроустройством, в котором отсутствует активный элемент в виде испытывающего мартенситное превращение тонкого слоя сплава, чувствительность устройства, содержащего такой элемент, к изменению температуры существенно возрастает в интервале температур превращения. Согласно (9), температурная чувствительность полного напряжения в слое сплава равна

$$\left. \frac{d\sigma}{dT} \right|_{T=T_c} = \left( \frac{\varepsilon_m}{\Delta\alpha \Delta T_M} - 1 \right) Y_1 \Delta\alpha, \quad (10)$$

где  $\Delta T_M$  — интервал температур стесненного мартенситного превращения (8). В отсутствие превращения ( $\varepsilon_m = 0$ ) чувствительность устройства (величины смещения  $z$  (6)) к изменению температуры определяется, согласно (10), величиной  $Y_1 \Delta\alpha$ , а при наличии превращения — величиной  $(\varepsilon_m/\Delta T_M) Y_1$ .

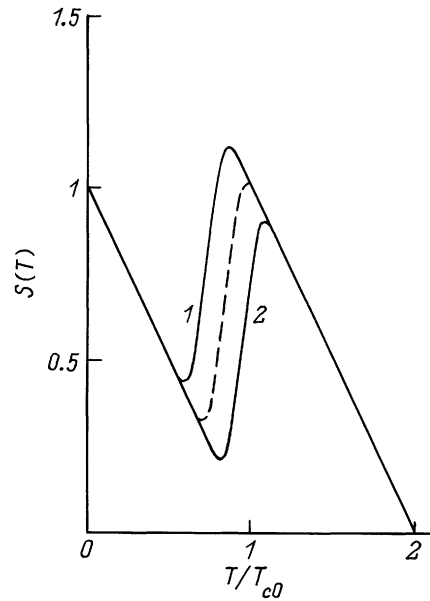


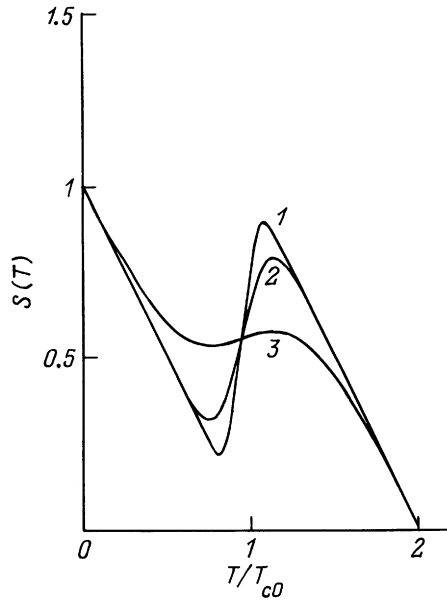
Рис. 3. Температурные зависимости термоупругих напряжений в слое сплава при прямом (1) и обратном (2) мартенситных превращениях. Штриховая кривая — в отсутствие гистерезиса превращения.

В [7] приведены результаты опытов с пленками сплавов NiTi толщиной 50 nm и 1–3 μm, диффузионно соединенными с кремниевыми подложками толщиной 90–100 μm при температуре 600 K. В интервале температур 230–320 K этот сплав испытывает мартенситное превращение. Как и на рис. 3, температурная зависимость напряжения в слое NiTi в результате превращения приобретала триггерный характер. При первом охлаждении после диффузионного соединения слоев интервал превращения (его размытие по температуре) был значительно больше, чем при последующем нагреве пластинки. Такое несовпадение параметров прямого и обратного переходов может быть следствием влияния пластической деформации сплава, вызванной первичным превращением. При  $\Delta\alpha = 10^{-4} \text{ K}^{-1}$  обработка результатов [7] (рис. 7) с учетом (10) дает  $d\sigma/dT = 3 \text{ MPa} \cdot \text{K}^{-1}$ ,  $Y_1 = 26 \text{ GPa}$ ,  $\Delta T_M = 100 \text{ K}$ ,  $\varepsilon_m = 2.2 \cdot 10^{-2}$ .

### 3. Размерные эффекты

В [7] найдено, что уменьшение толщины слоя NiTi с 1 μm до 50 nm вызывает уменьшение коэффициента температурной чувствительности напряжений (10) и величины (глубины) релаксации напряжений, т.е. разницы между максимальным и минимальным напряжением в слое в процессе мартенситного превращения. Теория размытых мартенситных переходов позволяет выяснить механизм этих размерных эффектов.

Для этого продифференцируем безразмерное напряжение (9) по безразмерной температуре  $t$ . Тогда с учетом



**Рис. 4.** Температурные зависимости термоупругих напряжений в слое сплава различной относительной толщины слоя  $h/\lambda_m$ : 1 —  $\infty$ , 2 — 0.4, 3 — 0.14.

того, что  $d\sigma/dT = (Y_1/T_c)\varepsilon_m(dS/dt)$ , находим, что при критической температуре  $T_c$

$$\left. \frac{dS}{dt} \right|_{T=T_c} = Q = \frac{B - 4(a/b)}{bB + 4}. \quad (11)$$

Таким образом, температурная чувствительность напряжений зависит от величины параметра  $B$ , т.е., согласно (5), от величины элементарного объема превращения  $\omega$ . В толстом слое величина  $\omega = r\lambda_m^2$ , где  $\lambda_m$  — среднее расстояние между препятствиями в плоскости межфазной границы. В тонком ( $h < \lambda_m$ ), но достаточно широком ( $w \gg \lambda_m$ ) слое элементарный объем превращения равен  $\omega = r\lambda_m\lambda_*(h)$ , где  $\lambda_*(h) = (\lambda_m^{-1} + h^{-1})^{-1}$ . Следовательно, в очень тонком ( $h \ll \lambda_m$ ) слое величина элементарного объема превращения будет тем меньше, чем меньше толщина слоя,  $\omega \sim h$ . В результате для параметра  $B$ , определяющего размытие перехода и величину коэффициента  $Q$  в (11), получаем следующую зависимость от толщины слоя:

$$B(h) = B_m \frac{h/\lambda_m}{1 + h/\lambda_m}, \quad (12)$$

где  $B_m$  — величина этого параметра в толстом слое.

На рис. 4 показаны температурные зависимости напряжений в слое при  $B_m = 50$ ,  $a = b = 0.1$  и значениях  $B$ , равных 50, 20 и 6 (соответственно  $h/\lambda_m = \infty$ , 0.4 и 0.14). Видно, что уменьшение толщины слоя вызывает снижение коэффициента  $Q(h)$  в (11) (кривая 3 на рис. 5,  $Q_m$  — величина коэффициента в толстом слое), а также разницы между максимальным и минимальным напряжением в слое.

Эта разница равна  $\Delta\sigma = \sigma_1 - \sigma_2$ , где  $\sigma_1 = \sigma(T_1)$  и  $\sigma_2 = \sigma(T_2)$  — напряжения, а  $T_1$  и  $T_2$  — температуры, соответствующие максимумам и минимумам кривых на рис. 4. Для их нахождения про дифференцируем уравнение (9) с учетом уравнения (7b) по  $t$  и приравняем производную от полного напряжения нулю,  $dS/dt = 0$ . С учетом этого условия находим, решая систему уравнений (7b) и (9), выражения для безразмерных напряжений и температур, соответствующих максимуму и минимуму кривых,

$$S_{1,2} = \left[ \frac{a}{b} \left( t_0 - 1 - B^{-1} \ln(z_{1,2}) \pm \frac{\tau_f}{\tau_M} \right) - \frac{1}{1 + z_{1,2}} \right] (1+a)^{-1}, \quad (13a)$$

$$t_{1,2} = \left[ 1 + at_0 + B^{-1} \ln(z_{1,2}) - \frac{b}{1 + z_{1,2}} \mp \frac{\tau_f}{\tau_M} \right] (1+a)^{-1}, \quad (13b)$$

где

$$z_{1,2} = \frac{bB}{2a} - 1 \pm \left[ \left( \frac{bB}{2a} - 1 \right)^2 - 1 \right]^{1/2}. \quad (13c)$$

В результате для разницы напряжений и температур, соответствующих максимуму и минимуму кривых, получаем выражения

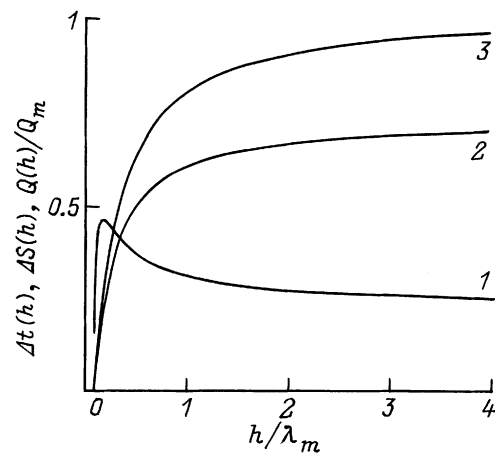
$$\Delta S = S_1 - S_2 = \left[ \left( 1 - \frac{4a}{bB} \right)^{1/2} - \frac{a}{bB} \ln \frac{z_1}{z_2} \right] (1+a)^{-1}, \quad (14a)$$

$$\Delta t = t_1 - t_2 = \left[ b \left( 1 - \frac{4a}{bB} \right)^{1/2} + B^{-1} \ln \frac{z_1}{z_2} \right] (1+a)^{-1}, \quad (14b)$$

$$\frac{z_1}{z_2} = \frac{1 - 2a/bB + (1 - 4a/bB)^{1/2}}{1 - 2a/bB - (1 - 4a/bB)^{1/2}}. \quad (14c)$$

Поскольку  $B = B(h)$  (12), то найденные величины зависят от толщины слоя  $h$ .

На рис. 5 кривые 1 и 2 демонстрируют соответствующие зависимости при  $B_m = 50$ ,  $a = b = 0.1$ .



**Рис. 5.** Зависимости температурного интервала  $\Delta t$  (1) и глубины  $\Delta S$  (2) релаксации напряжений и коэффициента  $Q$  (3) от относительной толщины слоя  $h/\lambda_m$ .

Видно, что при относительно больших  $h > 2\lambda_m$  величина релаксации термоупругих напряжений мартенситным механизмом почти не зависит от толщины слоя, а при  $h < \lambda_m$  она сильно уменьшается по мере его утонения. При критическом значении  $h_c = (B_c / (B_m - B_c)) \lambda_m$ , где  $B_c = 4a/b$ , коэффициент температурной чувствительности напряжений  $Q$  (12) и разница между максимальным и минимальным напряжениями обращаются в нуль. Оценка приведенных в [7] (рис. 8) данных показывает, что в исследованном сплаве NiTi среднее расстояние между препятствиями  $\lambda_m \approx 200$  нм. Это может соответствовать, например, плотности дислокаций в сплаве  $\rho \approx \lambda_m^{-2} \approx 2.5 \cdot 10^9 \text{ см}^{-2}$ .

Подводя итог проведенному анализу, можно заключить, что теория размытых мартенситных переходов [8–10] достаточно хорошо описывает эмпирические данные по стесненным мартенситным превращениям в тонком слое сплава с ЭПФ и связанную с превращением релаксацию термоупругих напряжений.

## Список литературы

- [1] S.M. Spearing. *Acta mater.* **48**, 1, 179 (2000).
- [2] *Materials for Smart Systems II* / Ed. by E.P. George, R. Gotthardt, K. Otsuka et al. MRS. Vol. 459. Pittsburg (1997).
- [3] К. Шимизу, К. Оцука. Эффекты памяти формы в сплавах. Наука, М. (1979).
- [4] J.E. Bidaux, W.J. Yu, R. Gotthardt, J.A. Manson. *J. de Phys. IV* **5**, C-2, 453 (1995).
- [5] С.П. Беляев, С.А. Егоров, В.А. Лихачев, О.Е. Ольховик. *ЖТФ* **66**, 11, 36 (1996).
- [6] R.D. James, K.F. Hane. *Acta mater.* **48**, 1, 197 (2000).
- [7] A.L. Roytburd, T.S. Kim, Q. Su, J. Slutsker, M. Wuttig. *Acta mater.* **46**, 14, 5095 (2000).
- [8] Г.А. Малыгин. *ФТТ* **36**, 5, 1489 (1994).
- [9] Г.А. Малыгин. *ЖТФ* **66**, 11, 112 (1996).
- [10] Г.А. Малыгин. *УФН* **71**, 2, 187 (2001).
- [11] G.G. Stoney. *Proc. Royal Soc.* **A82**, 172 (1909).